

AF 19/85/SERCE
110246 80.0KV X6000

1µm

Fig. 1

AF 19/85/SERCE
110245 80.0KV X6000

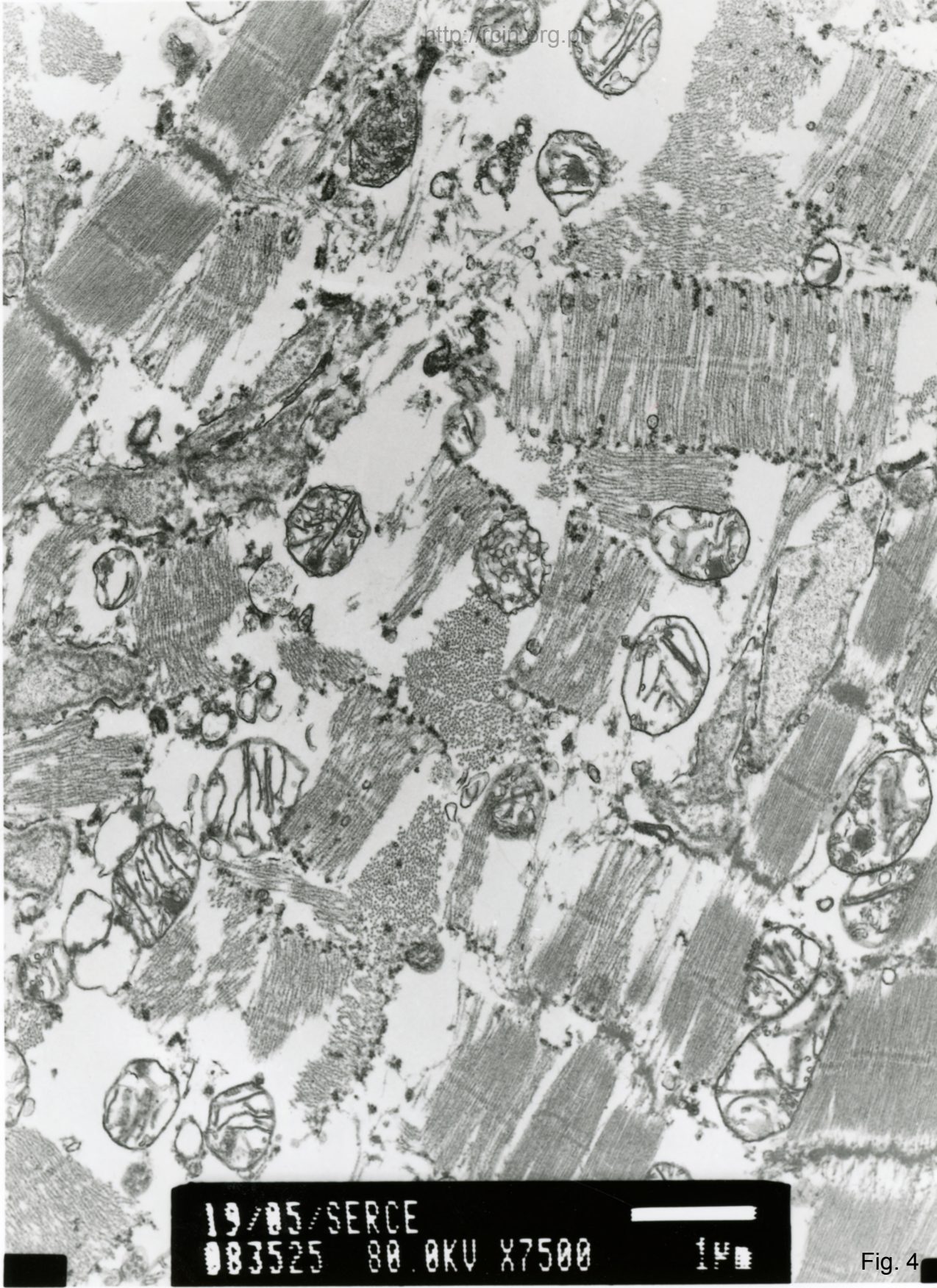
1µm

Fig. 2

AF 19/85/SERCE
118247 80.0KV X6000

1FB

Fig. 3



13/85/SERCE

183525 80.0KV X7500

1FB

Fig. 4

AF 19/05/SERCE
E10241 08.0KII X7500

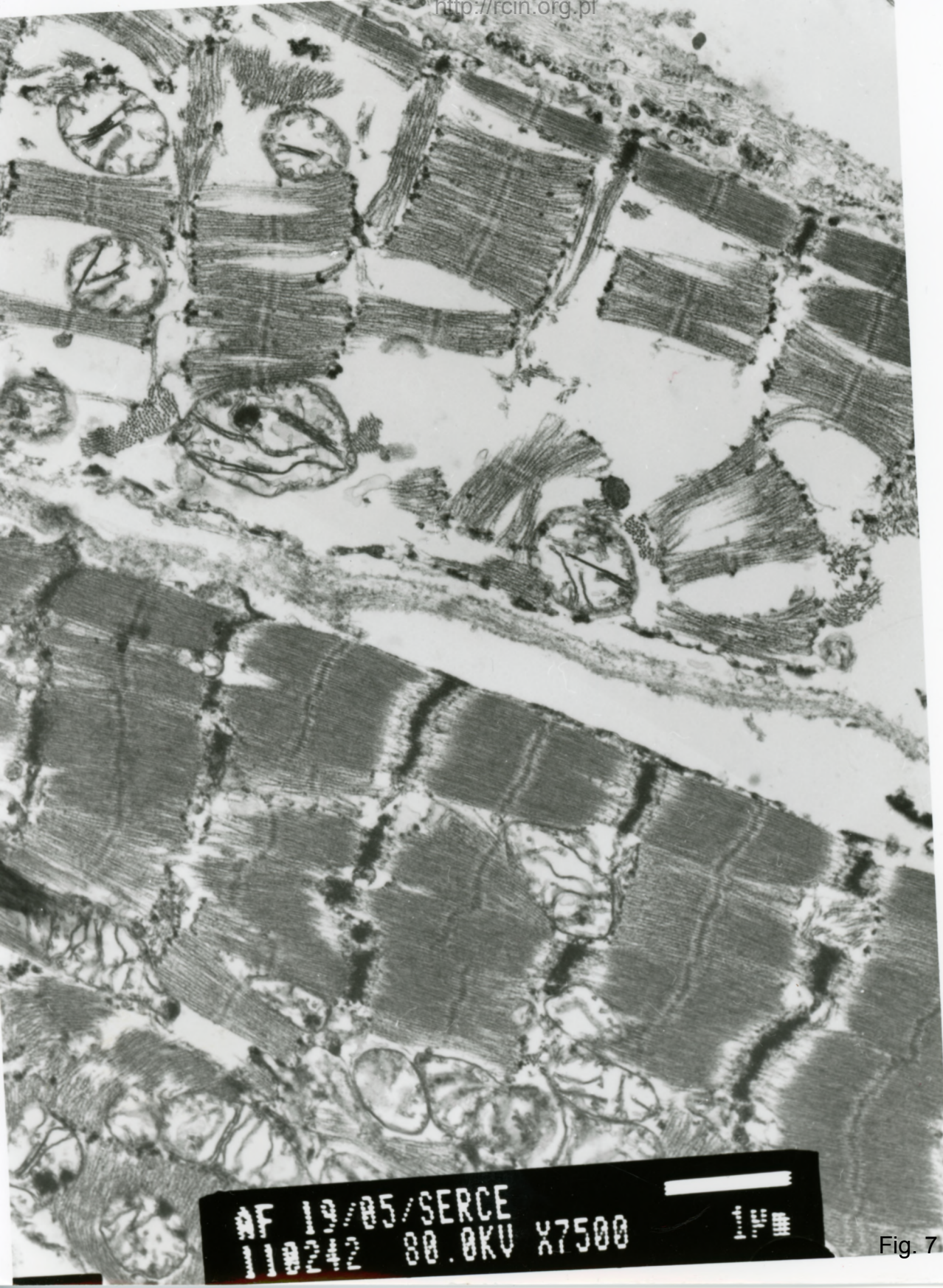
17

Fig. 5

AF 19/85/SERCE
110249 80.0KV X7500

14

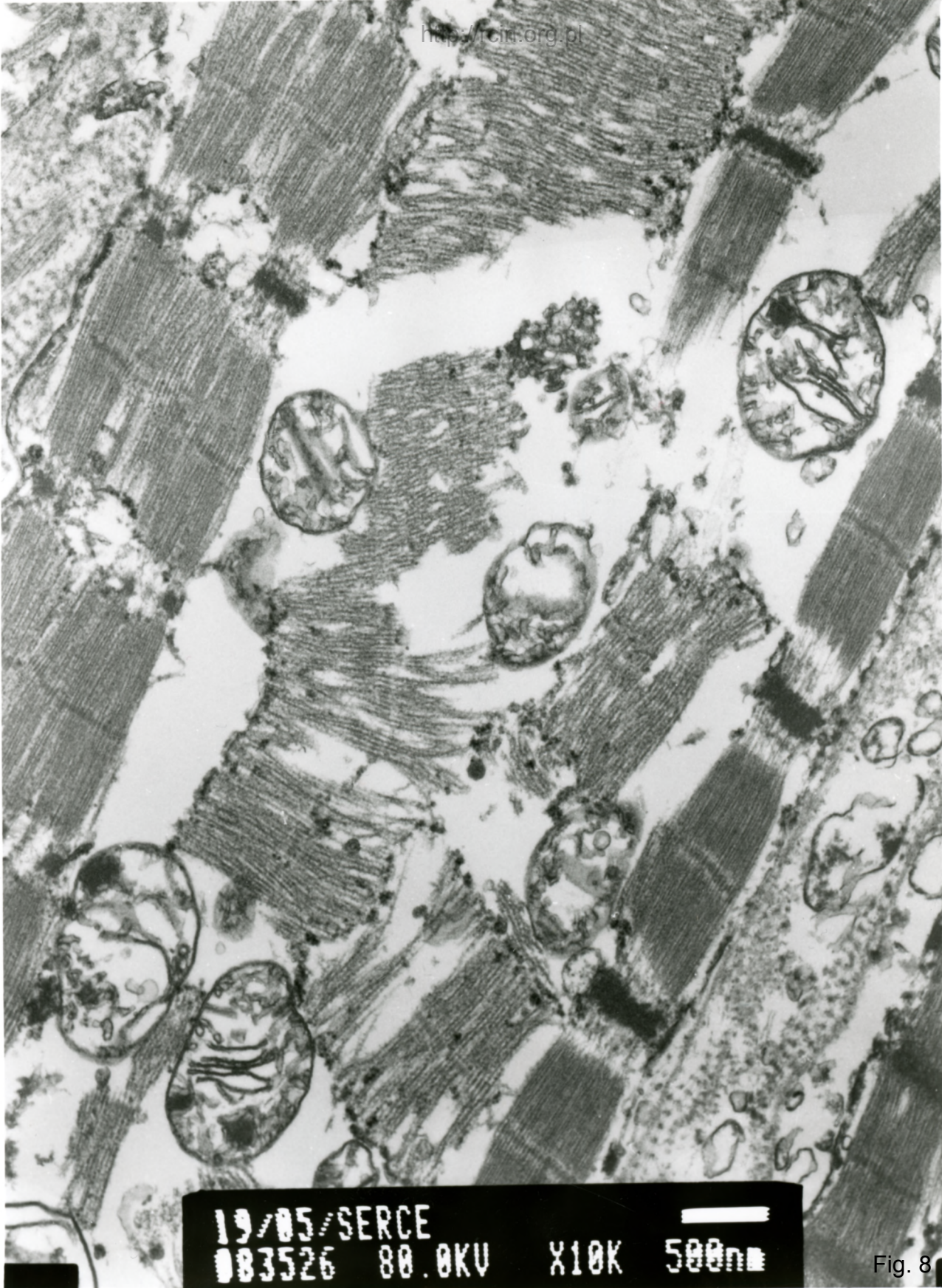
Fig. 6



AF 19/85/SERCE
110242 80.0KV X7500

1μm

Fig. 7



19/05/SERCE
DB3526 80.0KV X10K 500nm

Fig. 8

AF 19/85/SERCE
110244 80.0KV

x10K 500nm

Fig. 9



AF 19/05/SERCE
055352 80.0KV 810K 500nm

Fig.10

AF 19/85/SERCE
AE575A 00 8KV 112K 500nm

Fig.11

AF 19/85/SERCE
118243 80.0KV X15K 500nm

Fig.12

Biopsja serca (ściana gruba)

19/05 (patrz też 20/05 – biopsja serca ściana cienka, oraz 46/03 – biopsja mięśnia)

1. 6

Kardiomiopatia

Analiza ultrastrukturalna wykazała znaczne zmiany w kardiomiocytach. Obserwowano znaczne nieprawidłowości w budowie i układzie sarkomerów. Poszczególne miofibryle przebiegały w różnych kierunkach, widoczna była ich dezorganizacja, a wielu obszarach całkowity zanik. Mitochondria wykazywały cechy obrzęku, charakteryzowały się jasną macierzą i utratą grzebieni mitochondrialnych, niektóre cechowały się zupełnie pustym wnętrzem (Fig. 1-12).

Cardiomyopathy

Ultrastructural analysis revealed significant changes in cardiomyocytes. Severe sarcomeric aberrations were observed as well as substantial changes in the myofibrils' arrangement. Focally complete atrophy of myofibrils was noticed. Mitochondria showed features of swelling, bright matrix and loss of mitochondrial cristae, some were characterized by a completely empty interior (Fig. 1-12)